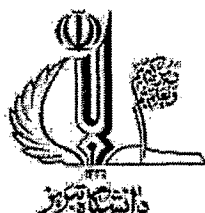


الله
يَعْلَمُ

WAF



دانشکده شیمی

گروه شیمی فیزیک

پایان نامه برای دریافت درجه کارشناسی ارشد در رشته شیمی فیزیک

عنوان

مطالعه مکانیزم رسوب الکتروشیمیایی آلیاژ طلا-کبالت از حمام های اسیدی

استاد راهنما:

دکتر میرقاسم حسینی

استاد مشاور:

دکتر حبیب اشعثی سرخابی

پژوهشگر:

سهیلا ابراهیمی سریندیزج

۱۳۸۸/۷/۶

فروردین ۱۳۸۸

لیسانس اطلاعات مارکeting
تمثیل مارک

تقدیم به

پدر و مادر نازنینم

به پاس یک عمر زحمت بی دریغشان ...

و خواهران همیشه همراهم

تقدیم به

همسر عزیزم

به پاس همراهی بی منت اش ...

تقدیر و تشکر:

سپاس و ستایش بی کران یکتای بی همتا را که نامش آرام بخش و یادش صفا بخش روح
است.

بر خود لازم می دانم از تمامی بزرگوارانی که هر یک به نوعی مرا مورد لطف و عنایت
قرار داده اند تشکر نمایم
از استاد عزیز و بزرگوارم، جناب آقای دکتر میرقاسم حسینی و جناب آقای

دکتر حبیب اشعثی

از استاد گرامی جناب آقای دکتر تقی زاده که زحمت داوری این پایان نامه را قبول
کردند.

از دوستان عزیزم در آزمایشگاه الکتروشیمی خانم ها باقری، عبدالی، اصغری، مرادی،
بخشی، جعفری، محمودی و آقایان غیاثوند، رقیبی، احذزاده، مومنی، زادباقر
و از خانواده گرامی ام

نام خانوادگی: ابراهیمی سریندیزج

نام: سهیلا

عنوان پایان نامه: مطالعه مکانیزم رسبوب الکتروشیمیایی آلیاژ طلا-کبالت از حمام های اسیدی

استاد راهنما: دکتر میر قاسم حسینی

استاد مشاور: دکتر حبیب اشعثی سرخابی

قطعه تحصیلی: کارشناسی ارشد

دانشگاه: تبریز

گرایش: شیمی فیزیک

رشته: شیمی

تعداد صفحه: ۱۰۱

تاریخ فارغ التحصیلی: فروردین ۱۳۸۸

دانشکده: شیمی

کلید واژه: ترسیب الکتروشیمیایی، طلای سخت، مکانیزم هسته زائی و رشد، براق کننده، تالیم

چکیده:

در این تحقیق، مکانیزم رسبوب الکتروشیمیایی آلیاژ طلا-کبالت از حمام های اسید سیتریک با استفاده از تکنیکهای مختلف الکتروشیمیایی از جمله ولتاوری چرخه ای، کرونوامپرومتری و کرونوپتانسیومتری مورد مطالعه قرار گرفت. بررسی های انجام شده نشان دهنده مکانیزم رشد و هسته زائی پیشرونده در پتانسیل های کاتدی پائین و مکانیزم آنی در پتانسیل های کاتدی بالا برای ترسیب طلا در حمام آلیاژ سیتراتی می باشد. سپس نقش Tl^+ به عنوان براق کننده بر روی خواص پوشش بررسی شد. مطالعات الکتروشیمیایی نشان می دهد که تالیم از طریق اثر دپلاریزاسیون و الکتروکاتالیتیکی باعث بهبود خواص شیمی فیزیکی پوشش های حاصله نظری؛ سختی، برآقت و چسبندگی می گردد. و در نهایت مورفولوژی پوشش های حاصله با استفاده از SEM و آنالیز سطح با EDAX مورد مطالعه قرار گرفت. ورود کبالت به درون پوشش های طلا باعث دانه ریز شدن پوشش می گردد. با افزودن تالیم در حمام آبکاری طلای سخت، ترقی و بازداری ترسیب طلا به ترتیب در پتانسیل های کاتدی پائین و بالا مشاهده می گردد به طوری که در دانسیته جریان های پائین، تالیم سایز هسته های طلا را افزایش می دهد و دانسیته پوشش را با کاتالیز کردن رشد هسته ها می کاهد. امادر دانسیته جریان های بالا، یک اثر معکوس دیده می شود. نتایج حاصل از EDAX نشان می دهد درصد اتمی کبالت در پوشش های طلا در حدود ۱٪ و مقدار تالیم ناچیز می باشد که موید اثر الکتروکاتالیتیکی تالیم می باشد.

فصل اول: مقدمه و بررسی منابع

صفحه	عنوان
۱	۱-۱- مقدمه
۲	۱-۲- اصول آبکاری الکتریکی
۲	۱-۲-۱- هدایت الکتریکی محلول
۳	۱-۲-۲- آند و کاتد
۳	۱-۲-۳- الکترولیت
۳	۱-۲-۴- الکترولیز
۴	۱-۴-۲-۱- قوانین الکترولیز
۴	۱-۴-۲-۱- ترسیب الکتروشیمیایی فلز و عوامل موثر بر آن
۵	۱-۵-۲-۱- دانسیته جریان
۵	۱-۵-۲-۱- درجه حرارت
۶	۱-۵-۲-۱- غلظت فلز
۶	۱-۵-۲-۱- نوع کمپلکس کننده
۷	۱-۳-۱- روش ها و حمام های مختلف آبکاری
۷	۱-۳-۱-۱- انواع روش های آبکاری
۷	۱-۳-۱-۱-۱- آبکاری بدون برق طلا
۸	۱-۱-۱-۱-۳-۱- حمام های بدون برق سیانیدی
۸	۱-۱-۱-۱-۱-۳-۱- حمام بدون برق پوروهیدرید
۹	۱-۱-۱-۱-۱-۳-۱-۲- حمام بدون برق هیپوفسفیت

۹	- ۳-۱-۲-۱-۱- حمام های بدون برق غیر سیانیدی
۱۰	- ۱-۳-۱- آبکاری الکتریکی طلا
۱۰	- ۱-۳-۱-۲-۱- حمام های سیانیدی
۱۰	- ۱-۳-۱-۲-۱-۱- حمام های سیانیدی قلیایی
۱۱	- ۱-۳-۱-۲-۱-۲-۱- حمام های سیانیدی خشی
۱۲	- ۱-۳-۱-۲-۱-۲-۱-۳-۱- حمام های سیانیدی اسیدی
۱۴	- ۱-۳-۱-۲-۲-۱- حمام های غیرسیانیدی
۱۴	- ۱-۳-۱-۲-۲-۱-۱- حمام های غیرسیانیدی سولفاتی
۱۶	- ۱-۳-۱-۲-۲-۲-۱- حمام های غیرسیانیدی تیوسولفاتی
۱۶	- ۱- آبکاری آلیاژی
۱۷	- ۱-۱-۴-۱- تاریخچه آبکاری آلیاژی
۱۹	- ۱-۴-۱-۲- شرایط آبکاری آلیاژی
۱۹	- ۱-۴-۱-۳- روش های مختلف نزدیک نمودن پتانسیل دو فلز
۱۹	- ۱-۴-۱-۱- تغییر غلظت یون های فلزی در محلول های ساده نمکی
۲۰	- ۱-۴-۱-۲-۳- استفاده از مواد کمپلکس کننده
۲۰	- ۱-۴-۱-۳-۳- استفاده از جریان حد
۲۰	- ۱-۴-۱-۴- پدیده انتشار در آبکاری آلیاژی
۲۱	- ۱-۴-۱-۵- ترمودینامیک و سینتیک ترسیب همزمان
۲۳	- ۱-۴-۱-۶- متغیر های آبکاری

فهرست مطالب

۲۴	۱-۵-آبکاری آلیاژی طلا- کبالت
۲۷	۱-۶- مطالعه مکانیزم ترسیب الکتروشیمیایی
۲۷	۱-۶-۱- کاربرد تکنیک های ولتاوتمتری
۲۷	۱-۶-۱-۱- مطالعه ترسیب الکتروشیمیایی توسط روش ولتاوتمتری چرخهای
۲۸	۱-۶-۱-۱-۱- سیستم های برگشت ناپذیر و شبیه برگشت پذیر
۲۹	۱-۶-۱-۲- تکنیک کرونوآمپرومتری
۳۲	۱-۷- هدف از کار پژوهشی حاضر

فصل دوم: مواد و روش ها

عنوان	صفحه
۱-۲- مقدمه	۳۳
۲-۱- مواد شیمیایی استفاده شده برای تهیه حمام های آبکاری	۳۳
۲-۲- بررسی حمام های به کار رفته جهت مطالعات الکتروشیمیایی	۳۴
۲-۳- تکنیک های به کار رفته جهت بررسی های الکتروشیمیایی	۳۶
۲-۴- ولتاوتمتری چرخهای	۳۶
۲-۴-۱- کرونوآمپرومتری	۳۶
۲-۴-۲- کرونوپتانسیومتری	۳۶
۲-۵- بررسی خواص کاربردی پوشش	۳۶
۲-۵-۱- تجهیزات و حمام های مورد استفاده برای آبکاری	۳۶
۲-۵-۲- آماده سازی نمونه ها	۳۷
۲-۵-۳- میکروسختی سنجی	۳۹

- ^{۳۹} ۶- بررسی مورفولوژی پوشش های طلا توسط میکروسکوپ الکترونی روبیشی

فصل سوم: نتایج و بحث

عنوان

صفحه

۴۱-بررسی های الکتروشیمیایی	۱-۳
۴۱-۱-۱-۱-۱-۱-۳-بررسی پتانسیل نشست طلا، کبالت و آلیاژ طلا-کبالت	۳
۴۱-۱-۱-۱-۱-۱-۳-تعیین پتانسیل نشست فلز طلا از حمام ساده	۳
۴۲-۲-۱-۱-۱-۳-تعیین پتانسیل نشست فلز کبالت از محلول ساده بدون عامل کمپلکس کننده..	۳
۴۴-۳-۱-۱-۱-۳-بررسی ترسیب کبالت از حمام سیتراتی	۳
۴۵-۴-۱-۱-۱-۳-بررسی ترسیب طلا از حمام سیتراتی	۳
۴۶-۵-۱-۱-۱-۳-بررسی ترسیب همزمان طلا و کبالت از حمام آلیاژی سیتراتی	۳
۵۰-۶-۱-۱-۱-۳-بررسی اثر تالیم بر روی ترسیب همزمان طلا و کبالت از حمام آلیاژی	۳
۵۴-۲-۱-۱-۳-بررسی های کرونوآمپرومتری	۳
۵۴-۱-۲-۱-۳-کرونوآمپرومتری در زمان های طولانی	۳
۵۴-۱-۲-۱-۳-بررسی کرونوآمپرومتری ترسیب طلا از حمام سیتراتی	۳
۵۶-۲-۱-۲-۱-۳-بررسی کرونوآمپرومتری ترسیب آلیاژی طلا-کبالت	۳
۵۸-۳-۱-۲-۱-۳-بررسی کرونوآمپرومتری ترسیب آلیاژی طلا-کبالت در حضور تالیم	۳
۶۰-۴-۱-۲-۱-۳-بررسی کرونوآمپرومتری تأثیر <i>EDTA</i> بر ترسیب آلیاژی طلا-کبالت در حضور تالیم	۳
۶۲-۲-۲-۱-۳-کرونو آمپرومتری کوتاه	۳
۶۲-۱-۲-۲-۱-۳-بررسی کرونوآمپرومتری طلا در حمام سیتراتی	۳

۶۹	- بررسی کرونوآمپرومتری ترسیب آلیاژی طلا - کالت	۲-۲-۲-۱-۳
۷۴	- بررسی کرونوآمپرومتری ترسیب طلا در حمام سیتراتی در حضور تالیم ..	۳-۲-۲-۱-۳
۷۹	- بررسی کرونوآمپرومتری ترسیب آلیاژی طلا - کالت در حضور تالیم ..	۴-۲-۲-۱-۳
۸۴ بررسی کرونوپتانسیومتری	۳-۱-۳
۸۴	- بررسی کرونوپتانسیومتری ترسیب آلیاژی طلا- کالت.....	۱-۳-۱-۳
۸۵	- بررسی کرونوپتانسیومتری ترسیب آلیاژی طلا- کالت در حضور تالیم ..	۲-۳-۱-۳
۸۷ اندازه گیری میکرو سختی پوشش های طلا	۲-۳
۸۸	- بررسی مورفولوژی پوشش های طلا توسط میکروسکوپ الکترونی روبشی	۳-۳
۹۴ نتیجه گیری	۴-۳
۹۵ پیشنهادات	۵-۳
۹۷ مراجع	۶-۳

فهرست شکل ها

فصل اول: مقدمه و بررسی منابع

عنوان	صفحه
شکل ۱-۱، ولتاومگرام چرخه‌ای برای فرایندهای برگشت‌ناپذیر و شبه برگشت‌پذیر ۲۹	۲۹
شکل ۱-۲، دسته‌ای از ولتاومگرام ها با سرعت اسکن پتانسیل متفاوت برای واکنش‌های برگشت‌ناپذیر ۲۹	۲۹
شکل ۱-۳، منحنی‌های کرونوآمپرومتری در پتانسیل‌های مختلف ۳۰	۳۰
شکل ۱-۴، منحنی‌های بدون بعد t/t_m^2 بر حسب I^2/I_m^2 ۳۱	۳۱

فصل دوم: مواد و روش‌ها

عنوان	صفحه
شکل ۲-۱، دستگاه پتانسیواستات و سل انجام آزمایش‌های الکتروشیمیایی ۳۴	۳۴
شکل ۲-۲، میکروسکوپ الکترونی مورد استفاده در تحقیق حاضر ۴۰	۴۰

فصل سوم: نتایج و بحث

عنوان	صفحه
شکل ۳-۱، منحنی ولتاومتری چرخه‌ای طلا از حمام ساده (محلول شماره ۱) با سرعت اسکن ۴۲ ۴۲	۴۲
شکل ۳-۲، منحنی ولتاومتری چرخه‌ای کبالت از حمام ساده (محلول شماره ۲) با سرعت اسکن ۴۳ ۴۳	۴۳
شکل ۳-۳، منحنی‌های ولتاومتری چرخه‌ای طلا از حمام ساده (محلول شماره ۱) و کبالت از حمام ساده (محلول شماره ۲) با سرعت اسکن ۲۵ mV/s ۴۳	۴۳

شکل ۳-۴، منحنی ولتامتری چرخه ای کبالت از حمام سیتراتی (محلول شماره ۳) با سرعت اسکن ۴۴ ۲۵ mV/s
شکل ۳-۵، منحنی ولتامتری چرخه ای طلا از حمام سیتراتی (محلول شماره ۴) با سرعت اسکن ۴۵ ۲۵ mV/s
شکل ۳-۶-۱، منحنی ولتامتری چرخه ای طلا-کبالت از حمام آلیاژی (محلول شماره ۵) با سرعت اسکن ۴۷ ۲۵ mV/s
شکل ۳-۶-۲، منحنی ولتامتری چرخه ای طلا-کبالت از حمام آلیاژی (محلول شماره ۵) در پتانسیل های منفی تر در سرعت اسکن های ۴۸ ۲۵، ۵۰ و ۷۵ mV/s
شکل ۳-۷، منحنی ولتامتری چرخه ای طلا-کبالت از حمام آلیاژی در حضور تالیم (محلول شماره ۶) در سرعت اسکن ۵۰ ۲۵mV/s
شکل ۳-۸، منحنی ولتامتری طلا در حمام آلیاژی در غیاب تالیم (محلول شماره ۵) ، منحنی(a) و در حضور تالیم (محلول شماره ۶) ، منحنی(b) در سرعت اسکن ۵۱ ۲۵ mV/s
شکل ۳-۹، تأثیر تغییر پتانسیل بر روی منحنی های کرونوآمپرومتری طلا در حمام سیتراتی در پتانسیل های کاتدی پائین (محلول شماره ۴) ۵۴
شکل ۳-۱۰، تأثیر تغییر پتانسیل بر روی منحنی های کرونوآمپرومتری طلا در حمام سیتراتی در پتانسیل های کاتدی بالا (محلول شماره ۴) ۵۵
شکل ۳-۱۱، تأثیر تغییر پتانسیل بر روی منحنی های کرونوآمپرومتری ترسیب آلیاژی طلا-کبالت (محلول شماره ۵) در پتانسیل های کاتدی پائین ۵۶
شکل ۳-۱۲، تأثیر تغییر پتانسیل بر روی منحنی های کرونوآمپرومتری ترسیب آلیاژی طلا-کبالت (محلول شماره ۵) در پتانسیل های کاتدی بالا ۵۶

شکل ۱۳-۳، تأثیر تغییر پتانسیل بر روی منحنی های کرونوآمپرومتری ترسیب آلیاژی طلا-کبالت در حضور تالیم (محلول شماره ۶) در پتانسیل های کاتدی پائین ۵۸
شکل ۱۴-۳، تأثیر تغییر پتانسیل بر روی منحنی های کرونوآمپرومتری ترسیب آلیاژی طلا-کبالت در حضور تالیم (محلول شماره ۶) در پتانسیل های کاتدی بالا ۵۸
شکل ۱۵-۳، تأثیر تغییر پتانسیل بر روی منحنی های کرونوآمپرومتری ترسیب آلیاژی طلا-کبالت در حضور تالیم و EDTA (محلول شماره ۷) در پتانسیل های کاتدی پائین ۶۱
شکل ۱۶-۳، تأثیر تغییر پتانسیل بر روی منحنی های کرونوآمپرومتری ترسیب آلیاژی طلا-کبالت در حضور تالیم و EDTA (محلول شماره ۷) در پتانسیل های کاتدی بالا ۶۱
شکل ۱۷-۳، تأثیر تغییر پتانسیل بر روی منحنی های کرونوآمپرومتری ترسیب طلا در حمام سیتراتی (محلول شماره ۴) در پتانسیل های کاتدی پائین ۶۳
شکل ۱۸-۳، تأثیر تغییر پتانسیل بر روی منحنی های کرونوآمپرومتری ترسیب طلا در حمام سیتراتی (محلول شماره ۴) در پتانسیل های کاتدی بالا ۶۳
شکل ۱۹-۳، منحنی های خطی $t^{3/2} - z$ در پتانسیل های کاتدی پائین برای ترسیب طلا در حمام سیتراتی با استفاده از محلول شماره (۴) ۶۴
شکل ۲۰-۳، منحنی های خطی $t^{1/2} - z$ در پتانسیل های کاتدی بالا برای ترسیب طلا در حمام سیتراتی با استفاده از محلول شماره (۴) ۶۵
شکل ۲۱-۳، نمودار دانسیتۀ جریان بر حسب مجدول معکوس زمان برای تعیین ضریب نفوذ طلا در حمام سیتراتی از محلول شماره (۴) ۶۷
شکل ۲۲-۳، منحنی های بدون بعد I^2/I_m^2 بر حسب t/t_m در پتانسیل های کاتدی پائین برای ترسیب طلا در حمام سیتراتی با استفاده از محلول شماره (۴) ۶۸

شکل ۲۳-۳، منحنی های بدون بعد $I^2/I_m^2 - t/t_m$ در پتانسیل های کاتدی بالا برای ترسیب طلا در حمام سیتراتی با استفاده از محلول شماره (۴) ۶۹
شکل ۲۴-۳، تأثیر تغییر پتانسیل بر روی منحنی های کرونوآمپرومتری ترسیب آلیاژی طلا-کبالت در حمام سیتراتی (محلول شماره ۵) در پتانسیل های کاتدی پائین ۷۰
شکل ۲۵-۳، تأثیر تغییر پتانسیل بر روی منحنی های کرونوآمپرومتری ترسیب آلیاژی طلا-کبالت در حمام سیتراتی (محلول شماره ۵) در پتانسیل های کاتدی بالا ۷۰
شکل ۲۶-۳، منحنی های خطی $t^{3/2} - z$ در پتانسیل های کاتدی پائین برای ترسیب طلا در حمام آلیاژی طلا-کبالت (محلول شماره ۵) ۷۱
شکل ۲۷-۳، منحنی های خطی $t^{1/2} - z$ در پتانسیل های کاتدی بالا برای ترسیب طلا در حمام آلیاژی طلا-کبالت (محلول شماره ۵) ۷۱
شکل ۲۸-۳، منحنی های بدون بعد $I^2/I_m^2 - t/t_m$ در پتانسیل های کاتدی پائین برای ترسیب طلا در حمام آلیاژی (محلول شماره ۵) ۷۳
شکل ۲۹-۳، منحنی های بدون بعد $I^2/I_m^2 - t/t_m$ در پتانسیل های کاتدی بالا برای ترسیب طلا در حمام آلیاژی (محلول شماره ۵) ۷۴
شکل ۳۰-۳، تأثیر تغییر پتانسیل بر روی منحنی های کرونوآمپرومتری ترسیب طلا از حمام سیتراتی در حضور تالیم (محلول شماره ۸) در پتانسیل های کاتدی پائین ۷۴
شکل ۳۱-۳، تأثیر تغییر پتانسیل بر روی منحنی های کرونوآمپرومتری ترسیب طلا از حمام سیتراتی در حضور تالیم (محلول شماره ۸) در پتانسیل های کاتدی بالا ۷۵
شکل ۳۲-۳، منحنی های خطی $t^{3/2} - z$ در پتانسیل های کاتدی پائین برای ترسیب طلا در حمام سیتراتی در حضور تالیم (محلول شماره ۸) ۷۶

شکل ۳-۳، منحنی های خطی $t^{1/2} - j$ در پتانسیل های کاتدی بالا برای ترسیب طلا در حمام سیتراتی در حضور تالیم (محلول شماره ۸)	۷۶
شکل ۳-۴، منحنی های بدون بعد $I^2/I_m^2 - t/t_m$ در پتانسیل های کاتدی پائین برای ترسیب طلا در حمام سیتراتی در حضور تالیم (محلول شماره ۸)	۷۸
شکل ۳-۵، منحنی های بدون بعد $I^2/I_m^2 - t/t_m$ در پتانسیل های کاتدی بالا برای ترسیب طلا در حمام سیتراتی در حضور تالیم (محلول شماره ۸)	۷۹
شکل ۳-۶، تأثیر تغییر پتانسیل بر روی منحنی های کرونوآمپرومتری ترسیب طلا-کبالت از حمام سیتراتی در حضور تالیم (محلول شماره ۶) در پتانسیل های کاتدی پائین	۷۹
شکل ۳-۷، تأثیر تغییر پتانسیل بر روی منحنی های کرونوآمپرومتری ترسیب طلا-کبالت از حمام سیتراتی در حضور تالیم (محلول شماره ۶) در پتانسیل های کاتدی بالا	۸۰
شکل ۳-۸، منحنی های خطی $t^{3/2} - j$ در پتانسیل های کاتدی پائین برای ترسیب طلا-کبالت در حمام سیتراتی در حضور تالیم (محلول شماره ۶)	۸۱
شکل ۳-۹، منحنی های خطی $t^{1/2} - j$ در پتانسیل های کاتدی بالا برای ترسیب طلا-کبالت در حمام سیتراتی در حضور تالیم (محلول شماره ۶)	۸۱
شکل ۳-۱۰، منحنی های بدون بعد $I^2/I_m^2 - t/t_m$ در پتانسیل های کاتدی پائین برای ترسیب طلا-کبالت در حمام سیتراتی در حضور تالیم (محلول شماره ۶)	۸۳
شکل ۳-۱۱، منحنی های بدون بعد $I^2/I_m^2 - t/t_m$ در پتانسیل های کاتدی بالا برای ترسیب طلا-کبالت در حمام سیتراتی در حضور تالیم (محلول شماره ۶)	۸۳
شکل ۳-۱۲، تأثیر تغییر دانسیته جریان بر روی منحنی های کرونوپتانسیومتری ترسیب آلیاژی طلا-کبالت (محلول شماره ۵)	۸۴

شکل ۳-۳، تأثیر تغییر دانسیته جریان بر روی منحنی های کرونوپتانسیومتری ترسیب آلیاژی طلا-کبالت در حضور تالیم با استفاده از محلول شماره (۶) ۸۵
شکل ۳-۴، تأثیر تغییر دانسیته جریان بر روی منحنی های کرونوپتانسیومتری ترسیب آلیاژی طلا-کبالت در غیاب و حضور تالیم ۸۶
شکل ۳-۵، تصویر سطح پوشش طلای خالص به دست آمده از حمام شماره (۴) در دانسیته جریان ۸۹
شکل ۳-۶، تصویر سطح پوشش آلیاژی طلا-کبالت به دست آمده از حمام شماره (۵) در دانسیته جریان 10mA/cm^2 و دمای $C = 45^\circ$ با بزرگنمائی $X = 7500$ ۸۹
شکل ۳-۷، تصویر سطح پوشش آلیاژی طلا-کبالت در حضور تالیم به دست آمده از حمام شماره (۶) در دانسیته جریان 10mA/cm^2 و دمای $C = 45^\circ$ با بزرگنمائی $X = 7500$ ۹۰
شکل ۳-۸، تصویر سطح پوشش طلای خالص به دست آمده از حمام شماره (۴) در دانسیته جریان ۹۰
شکل ۳-۹، تصویر سطح پوشش آلیاژی طلا-کبالت به دست آمده از حمام شماره (۵) در دانسیته جریان 10mA/cm^2 و دمای $C = 45^\circ$ با بزرگنمائی $X = 30000$ ۹۱
شکل ۳-۱۰، تصویر سطح پوشش طلای خالص به دست آمده از حمام شماره (۴) در دانسیته جریان ۹۲
شکل ۳-۱۱، تصویر سطح پوشش آلیاژی طلا-کبالت در حضور تالیم به دست آمده از حمام شماره (۶) در دانسیته جریان 10mA/cm^2 و دمای $C = 45^\circ$ با بزرگنمائی $X = 2000$ ۹۲
شکل ۳-۱۲، تصویر سطح پوشش آلیاژی طلا-کبالت در حضور تالیم به دست آمده از حمام شماره (۶) در دانسیته جریان 5mA/cm^2 و دمای $C = 45^\circ$ با بزرگنمائی $X = 30000$ ۹۳

فصل اول: مقدمه و بررسی منابع

عنوان		صفحه
جدول ۱-۱، حمام بدون برق بوروهیدرید (اکیناکا) ۹		۹
جدول ۱-۲، حمام سولفیت طلای یک ظرفیتی ۱۰		۱۰
جدول ۱-۳، حمام سیانیدی قلیایی ۱۱		۱۱
جدول ۱-۴، حمام سیانیدی خشی ۱۲		۱۲
جدول ۱-۵، حمام اسیدی جهت تولید پوشش طلای خالص ۱۴		۱۴
جدول ۱-۶، نمونه‌ای از حمام غیرسیانیدی سولفیتی ۱۵		۱۵

فصل دوم: مواد و روش ها

عنوان		صفحه
جدول ۲-۱، محلول‌های مورد استفاده برای بررسی‌های الکتروشیمیایی ۳۵		۳۵
جدول ۲-۲، اجزاء محلول‌های A) چربی گیری (B) پولیش شیمیایی C) اسید شوئی ۳۷		۳۷
جدول ۲-۳، حمام آبکاری نیکل ۳۸		۳۸

فصل سوم: نتایج و بحث

جدول ۳-۱، تأثیر پتانسیل به کار رفته بر روی تعداد مراکز هسته زائی طلا در حمام سیتراتی (محلول شماره ۴) ۶۷		۶۷
جدول ۳-۲، تأثیر پتانسیل به کار رفته بر روی تعداد مراکز هسته زائی طلا در حمام آلیاژی طلا-کبالت (محلول شماره ۵) ۷۲		۷۲
جدول ۳-۳، تأثیر پتانسیل به کار رفته بر روی تعداد مراکز هسته زائی طلا در حمام سیتراتی و در حضور تالیم (محلول شماره ۸) ۷۷		۷۷

فهرست جدول ها

جدول ۳-۴، تأثیر پتانسیل به کار رفته بر روی تعداد مراکز هسته زائی طلا در حمام آلیاژی

طلا-کبالت و در حضور تالیم (محلول شماره ۶) ۸۲

جدول ۳-۵، نتایج حاصل از میکرو سختی سنجی پوشش های طلا در شرایط مختلف ۸۷

فصل اول

مقدمہ

و

بررسی منابع

۱-۱- مقدمه

طلا فلزی است قیمتی (نجیب)، به رنگ زرد، در طبیعت به صورت خالص پیدا می‌شود. طلا در مقابل اتمسفر، آب، محلول‌های نمکی و اسیدها آسیب ناپذیر است، همینطور مقاومت اکسیداسیون بالا، هدایت الکتریکی بالا، مقاومت تماسی پائین، قابلیت لحیم شدن، مقاومت به خوردگی و رسانایی حرارتی بالای طلا آن را انتخاب مناسبی برای استفاده در صنایع الکترونیک، کتاكت‌ها، کانکتورهای الکتریکی، سیستم‌های مخابراتی، صنایع داروسازی، صنایع تولید مواد شیمیایی با خلوص بالا و صنایع هوا-فضا کرده است. پوشش‌های طلا به دلیل خواص منحصر به فردشان دائمه کاربرد وسیعی دارند. جنبه تزئینی پوشش‌های طلا از قرنها پیش تا کنون مورد توجه بوده است. با مطالعاتی که روی خواص مختلف فلز طلا انجام شده، مشخص گردیده است که این فلز نه تنها از لحاظ زیستی بلکه از لحاظ صنعتی نیز دارای قابلیت‌های گسترده‌ای می‌باشد. آبکاری طلا و آلیاژ‌های طلا به طور وسیع در تولید مواد جدید که نیاز به ویژگی‌های شیمیایی، فیزیکی و مکانیکی خاص دارد استفاده از می‌گردد [۱].

آبکاری طلا برای اولین بار در سال ۱۸۰۰ آغاز شد. در سال ۱۸۴۰ آبکاری تجاری طلا با استفاده از فرمول‌های آبکاری بر پایه نمک سیانید طلا انحصاری شد و فرمول‌های بعدی بر اساس نیاز بازار تولید شد. با توسعه صنعت الکترونیک در سال‌های ۱۹۴۰ و ۱۹۵۰ تقاضا برای ایجاد پوشش‌هایی با ویژگی‌های متفاوت از پوشش‌های تزئینی ایجاد شد. اصلاح ویژگی‌های فیزیکی از جمله رسانایی الکتریکی، مقاومت تماسی، مقاومت خوردگی، مقاومت پوششی، سختی و خلوص پوشش مد نظر تولید کننده‌های این صنعت بود و همین امر منجر به توسعه بیش از ۲۰۰ حمام آبکاری طلا و آلیاژی طلا شد [۲].